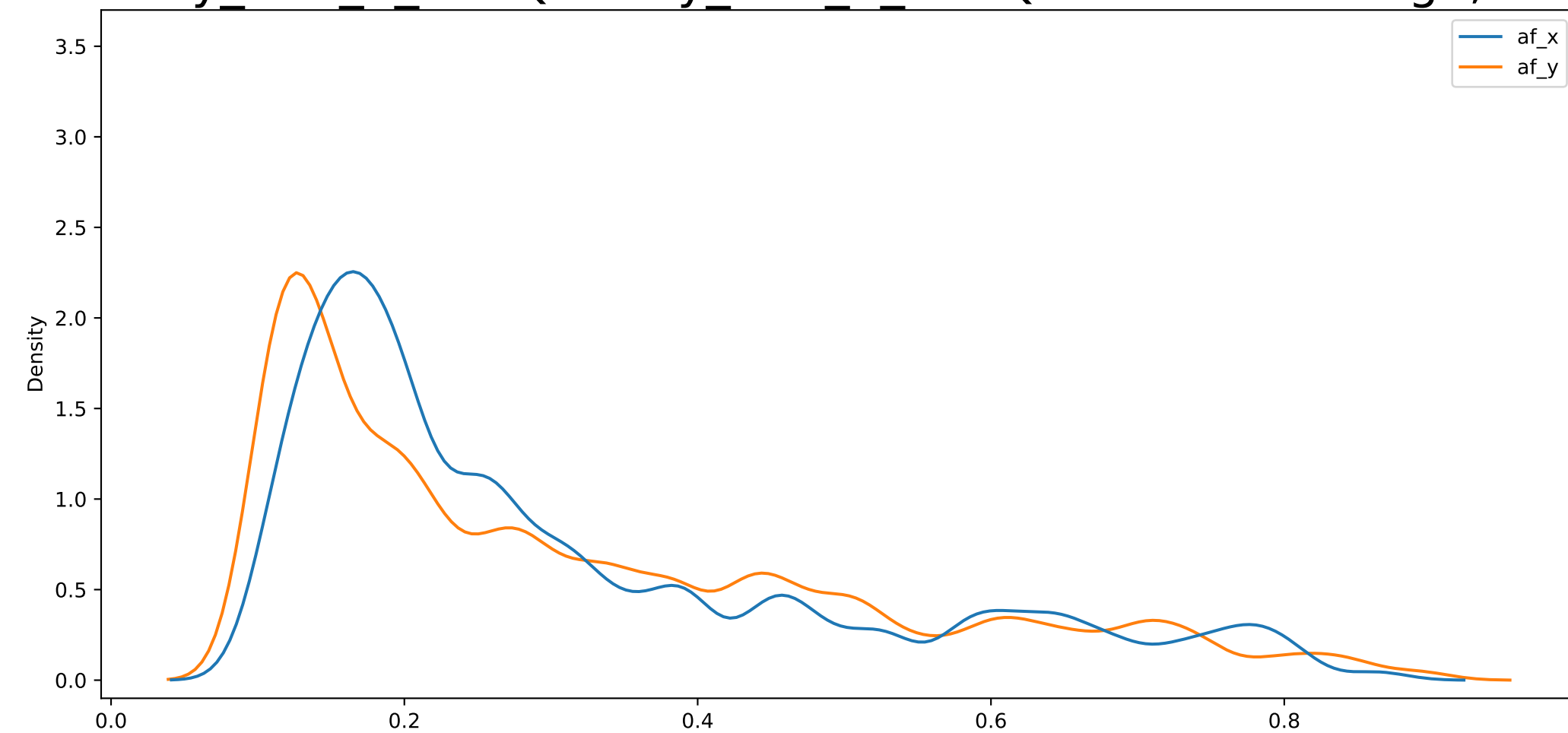
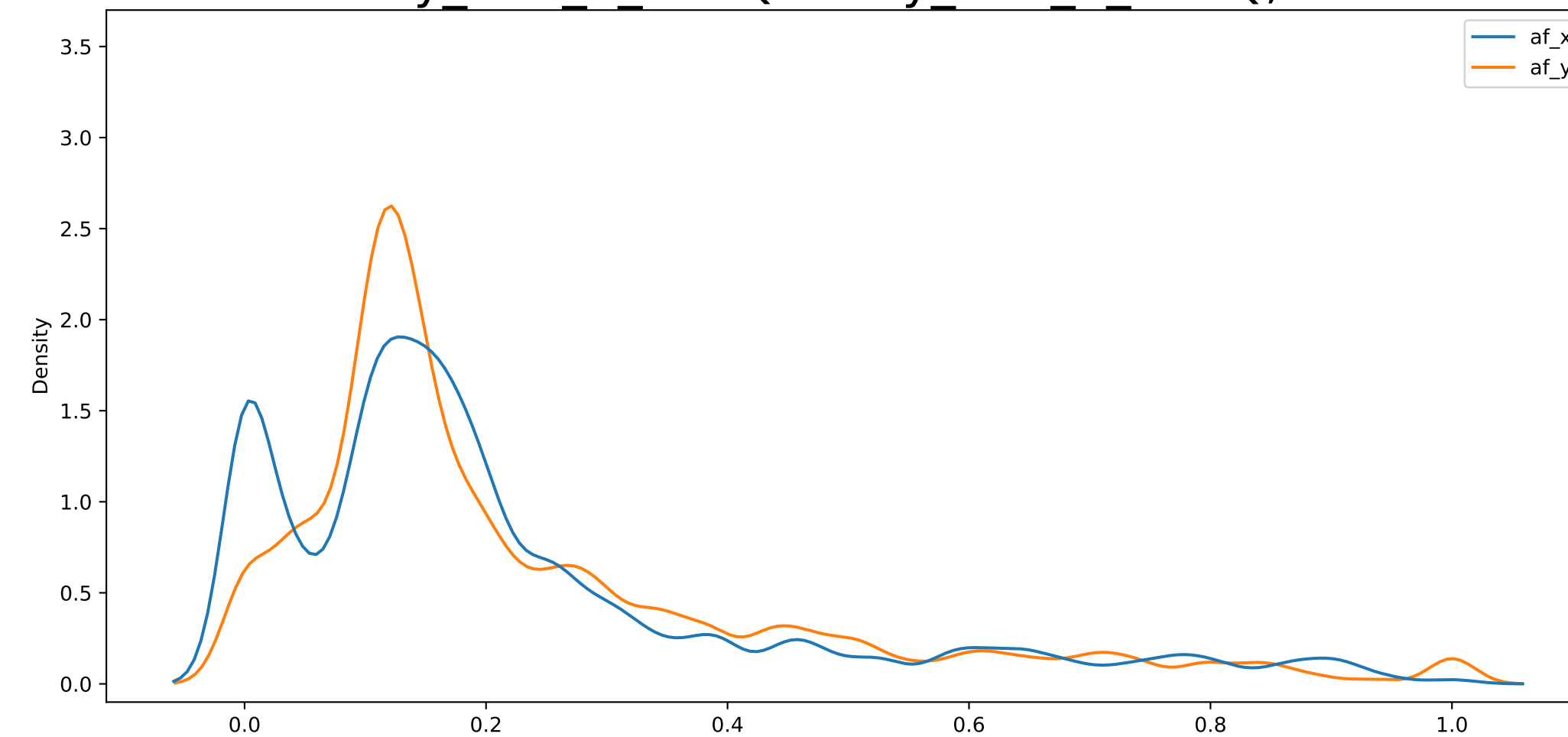


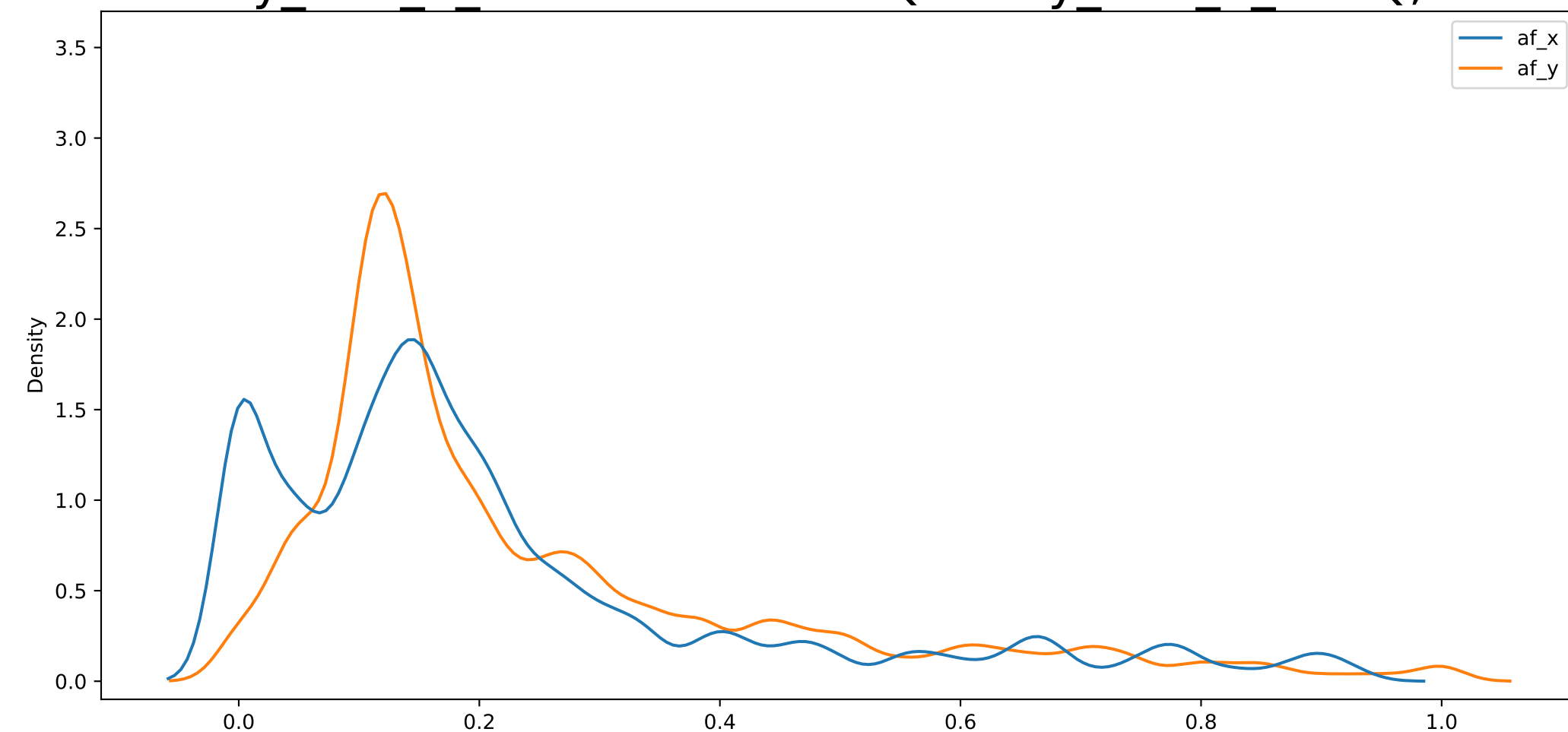
X-ray_POL_4_ASEQ*X-ray_POL_1_ASEQ both afs in range, 233



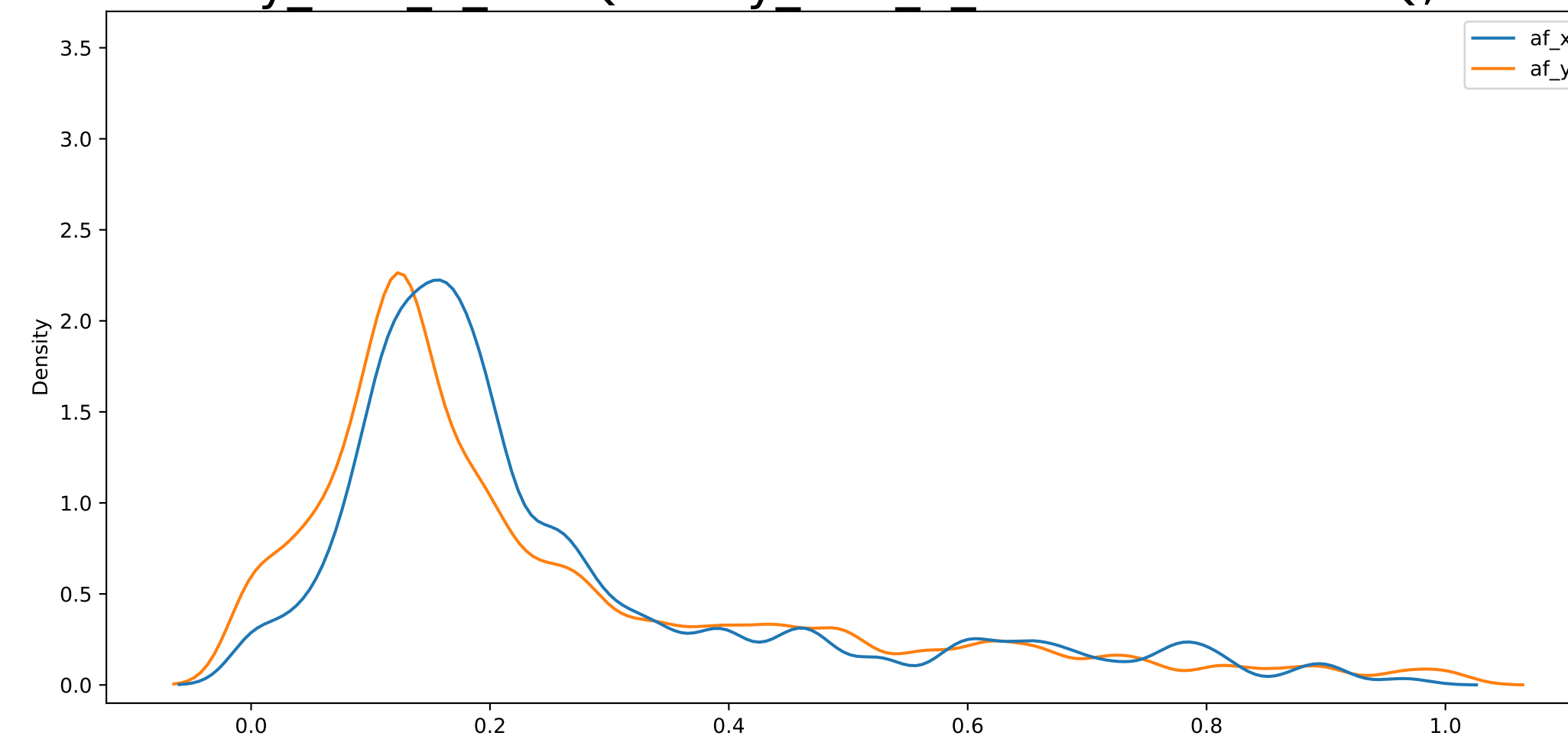
X-ray_POL_4_ASEQ*X-ray_POL_1_ASEQ, 450



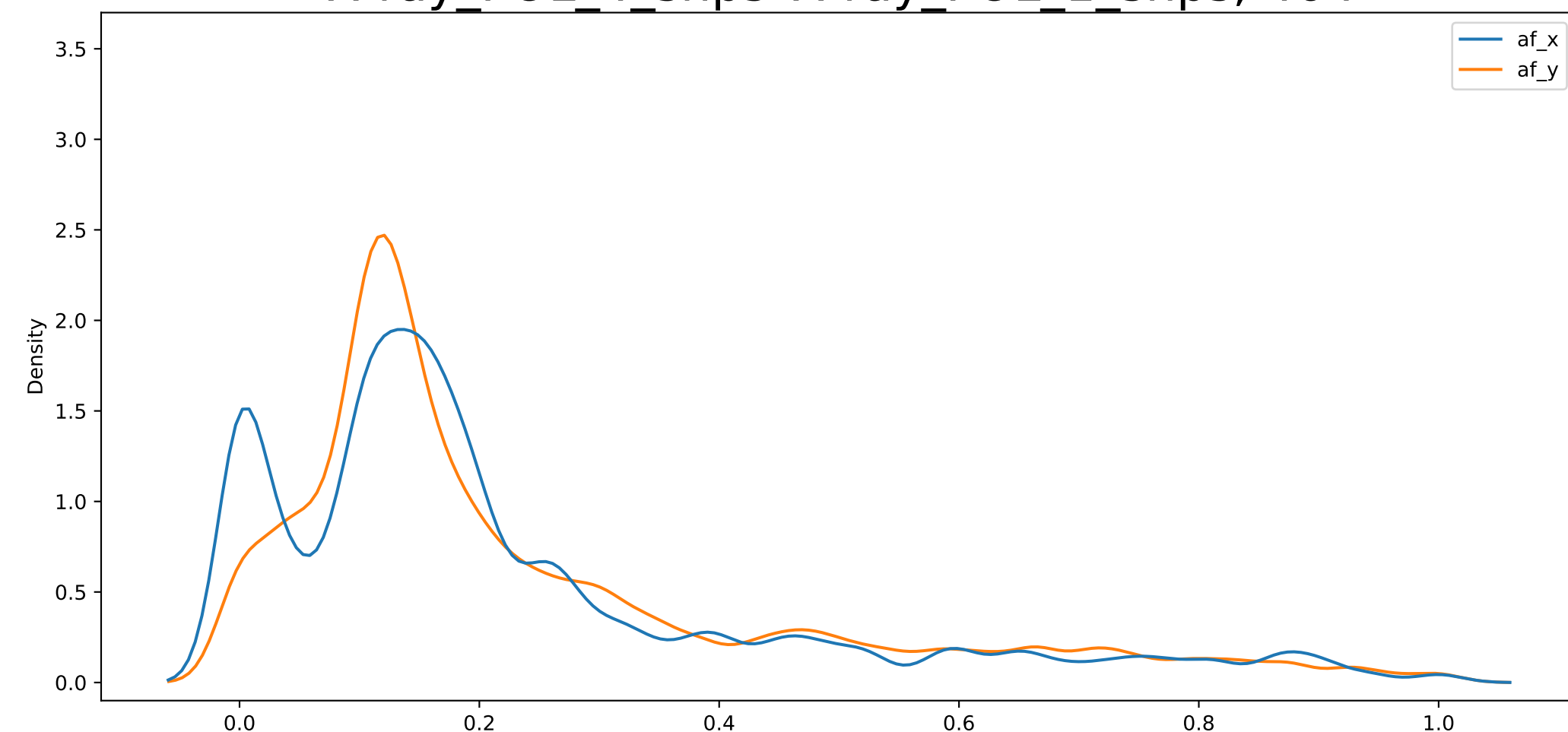
X-ray_POL_4_recalibrated.ASEQ*X-ray_POL_1_ASEQ, 408



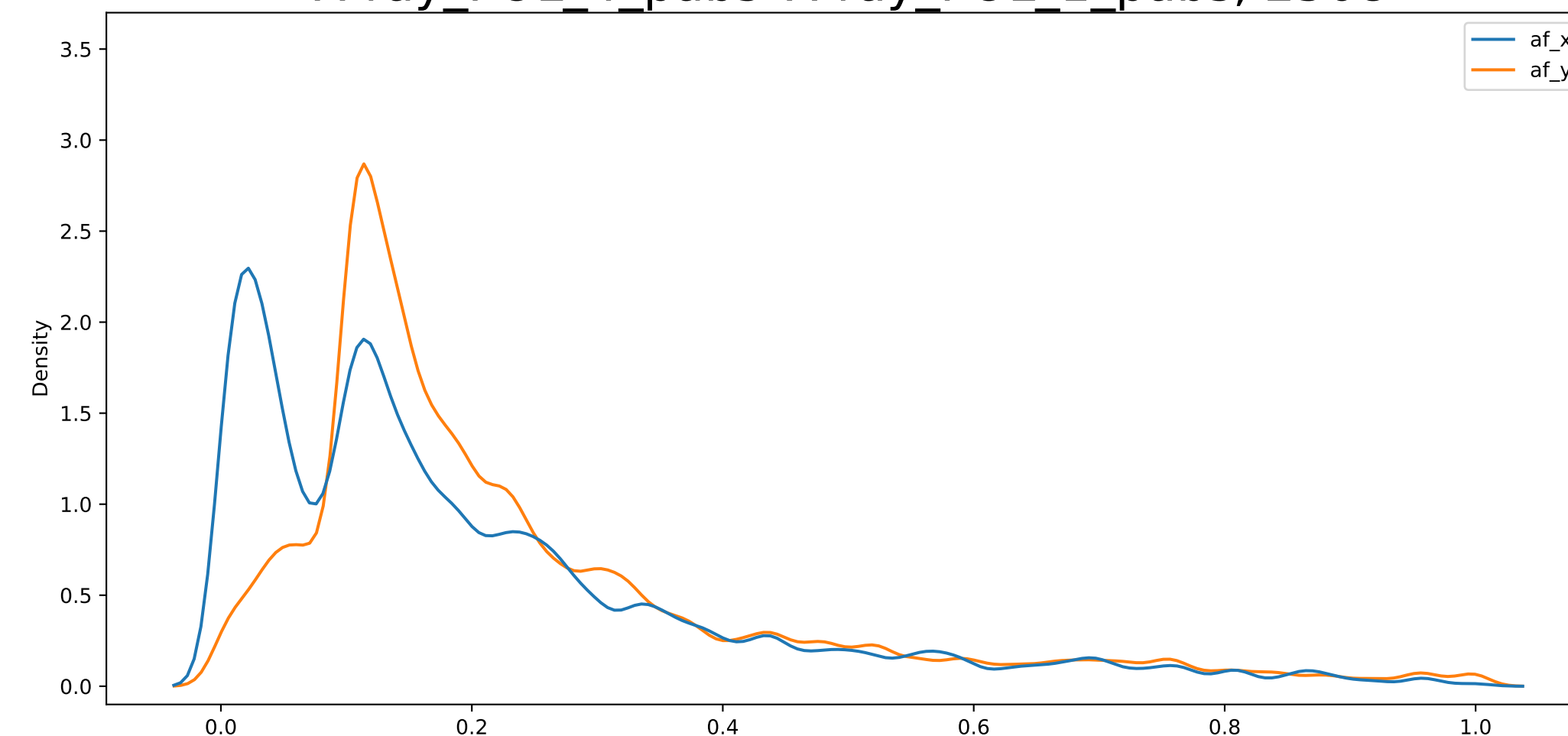
X-ray_POL_4_ASEQ*X-ray_POL_1_recalibrated.ASEQ, 288



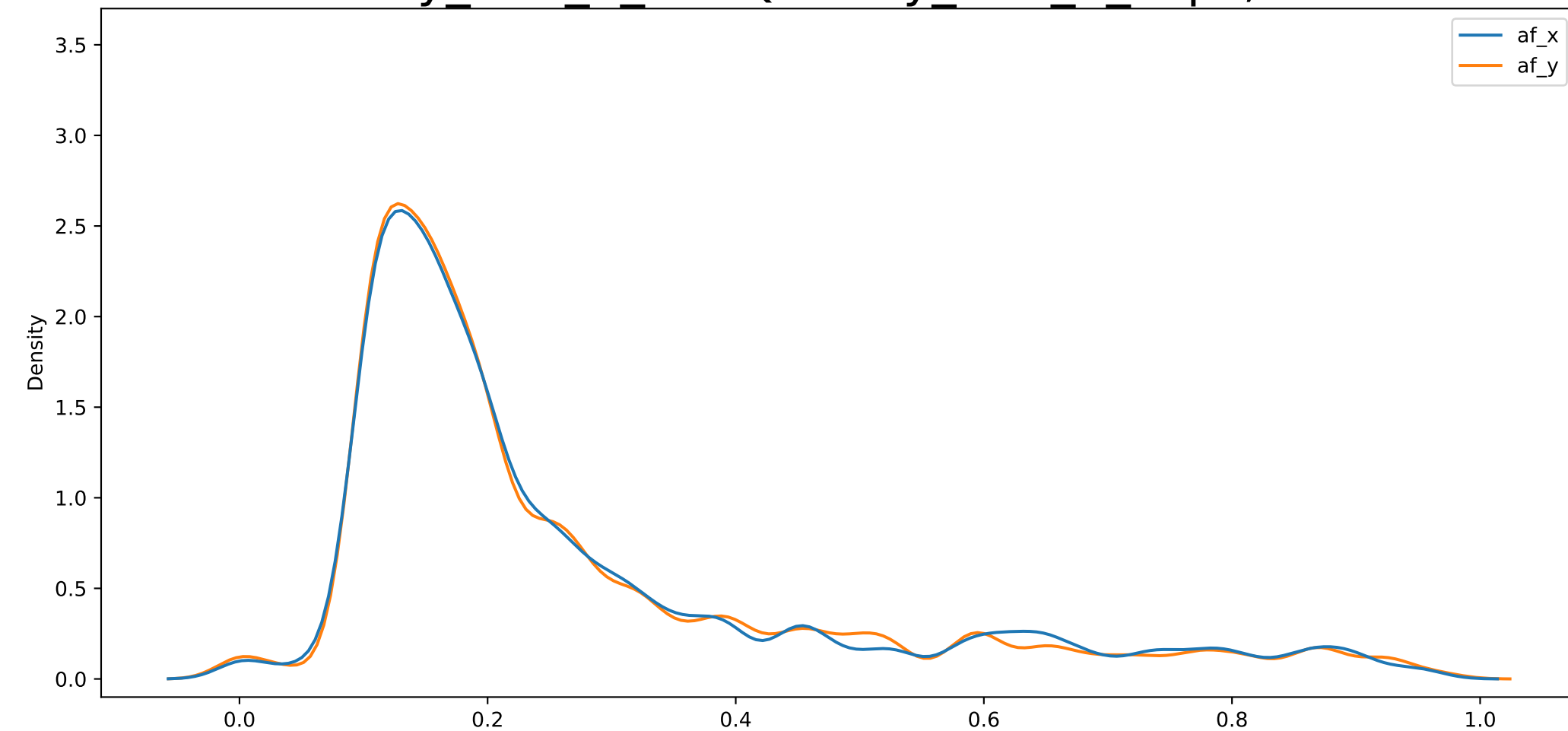
X-ray_POL_4_snps*X-ray_POL_1_snps, 464



X-ray_POL_4_pabs*X-ray_POL_1_pabs, 2508



X-ray_POL_4_ASEQ*X-ray_POL_4_snps, 389



X-ray_POL_1_ASEQ*X-ray_POL_1_snps, 465

